



## اثر متقابل تغییرات دما، pH و فناتنرن بر روی سطوح بیان ژن پروتئین ماتریکس ناکرین صدف مرواریدساز محار (*Pinctada radiata*) خلیج فارس

فاطمه جعفری<sup>۱</sup>، اکرم سادات نعیمی<sup>۱\*</sup>، محمدمهری سوهانی<sup>۲</sup>، محسن نوری‌نژاد<sup>۳</sup>

۱. گروه زیست‌شناسی، دانشکده علوم پایه، دانشگاه گیلان، رشت، ایران

۲. گروه بیوتکنولوژی کشاورزی، دانشکده کشاورزی، دانشگاه گیلان، رشت، ایران

۳. گروه اکولوژی، پژوهشکده میگوی کشور، موسسه تحقیقات علوم شیلاتی کشور، بوشهر، ایران

### چکیده

### نوع مقاله

### پژوهشی

در مطالعه حاضر تاثیر متقابل تغییر دما و pH به همراه فناتنرن به عنوان نماینده آلاینده‌ها بر چگونگی تعدیل بیان ژن ناکرین از طریق تحلیل بیان ژن ناکرین در بافت جبه صدف مرواریدساز محار *Pinctada radiata* مورد بررسی قرار گرفت. برای تعیین روند تغییرات الگوی بیان ژن مورد مطالعه، صدف‌های مروارید ساز به مدت ۴ هفته تحت شرایط تیمارهای ترکیبی گرمایش در دو سطح ۲۴ و ۲۸ درجه سانتی‌گراد، اسیدی شدن در دو سطح ۷/۶ و ۸/۱ و فناتنرن در دو سطح ۰ و ۸ نانوگرم بر لیتر در آکواریوم‌های ۲۰ لیتری با تراکم ۱۵ جاندار در هر تانک آزمایشی بررسی شده است. نمونه برداشی در سه مرحله، انتهای ۲۴ ساعت اول، انتهای ۴۸ ساعت دوم و انتهای روز ۲۸ ام انجام شد. بعد از ۲۸ روز معارضه، نتایج، مرگ و میری را نشان نداد. پارامترهای مورد مطالعه به جز دما بصورت منفرد، اثرات دوگانه به جز تقابل دما و فناتنرن و اثرات سه گانه بر روی بیان ژن ناکرین کاهش معنی‌داری نشان دادند. تقابل چهارگانه اثر معنی‌داری بر روی بیان ژن ناکرین نشان نداد. این نتایج گویای آن است که کاهش اسیدیتۀ آب دریا، گرم شدن آن و حضور آلاینده فناتنرن باعث کاهش بیان ژن ناکرین شده و در نهایت ممکن است بر روی کیفیت مروارید و پوسته صدف مرواریدساز محار اثر داشته باشد.

تاریخ دریافت: ۱۴۰۰/۰۵/۲۷

تاریخ پذیرش: ۱۴۰۰/۰۷/۱۳

تاریخ چاپ الکترونیک: ۱۴۰۱/۱۱/۱۹

### \*نویسنده مسئول:

akramnaeemi@yahoo.com

**کلیدواژه:** بیان ژن، تغییر اقلیم، خلیج فارس، صدف مرواریدساز محار، هیدروکربن‌های چندحلقه‌ای

آروماتیک

### مقدمه

حدود ۳۰٪ از انتشار دی‌اسیدیکربن ناشی از فعالیت‌های انسانی به اتمسفر توسط اقیانوس‌ها جذب می‌شود که سبب کاهش pH آب اقیانوس‌ها به اندازه ۰/۰ واحد شده است. بر طبق ۴ مدل پیش‌بینی شده، با افزایش انتشار دی‌اسیدیکربن به اتمسفر تا پایان قرن بیست‌ویکم، متوسط pH دریاها تقریباً به اندازه ۰/۱۳ تا ۰/۴۲ واحد کاهش خواهد یافت که این فرآیند به عنوان اسیدی شدن اقیانوس‌ها شناخته می‌شود (IPCC., 2014). افزایش دی‌اسیدیکربن اتمسفری به همراه سایر گازهای گلخانه‌ای، منجر به افزایش متوسط دمای جهانی می‌شود و پیش‌بینی شده است تا انتهای قرن حاضر تقریباً به اندازه ۰/۳ تا ۰/۸ درجه

سانتی گراد افزایش یابد (IPCC., 2014). افزایش در غلظت دی اکسید کربن محلول در آب دریا منجر به افزایش یون هیدروژن می شود که تغییر در شیمی کربنات اقیانوس ها و وضعیت اشباعیت کلسیت و آرگونیت را به دنبال خواهد داشت (IPCC., 2017 Sampaio *et al.*, 2014; Nardi *et al.*, 2017). تغییرات ممتد دی اکسید کربن در اقیانوس ها و اسیدی شدن آنها تهدید بزرگی برای تنوع زیستی دریایی، اکوسیستم دریایی و بویژه جانداران کلسیفیه کننده دریایی است (Wang *et al.*, 2016). مطالعات اخیر نشان داده اند که این تغییرات اثر منفی بر روی توانایی ساخت پوسته و اسکلت کلسیمی و نرخ کلسیفیه شدن در جانداران دریایی مثل مرجان ها (Holcomb *et al.*, 2014)، خارپوستان (Chan *et al.*, 2015)، نرمتنان (Liu *et al.*, 2017) و اکثر دوکفه ای های با ارزش از لحاظ اقتصادی و اکولوژیکی مثل صدف مرواریدساز (PAHs) خواهد داشت. جانداران دریایی هم زمان با مواجهه اثرات گرمایش جهانی و اسیدی شدن آب دریا با یکی از مهم ترین عوامل محیطی استرس زا یعنی غلظت های بالای آلاینده ها در محیط زیست خود روبرو هستند. یکی از مهم ترین ترکیبات شیمیایی در محیط دریا، هیدروکربن های چندحلقه ای آروماتیک (PAHs) هستند که اثر سمی، سرطانزا بی و چشم زایی بر روی جانداران دریایی دارند. این ترکیبات از ۲-۷ حلقه ای از منابع نفتی، زیستی و سوختی تولید می شوند. شانزده ترکیب PAHs به عنوان آلاینده های اولویت دار در لیست آژانس حفاظت محیط زیست آمریکا (US EPA) ثبت شده اند که بسیار پایدار بوده و به آسانی در بافت های مختلف جانداران دریایی به دلیل خاصیت آبرگزیزی و چربی دوستی تجمع می یابند (Akhbarizadeh *et al.*, 2019). فناوری به عنوان یکی از ترکیبات موجود در این لیست، از فراونترين آلاینده ها در محیط زیست دریایی است و با خاطر وزن مولکولی پایین و چربی دوستی به راحتی در جانوران دریایی تجمع می یابد (Hannam *et al.*, 2010; Luchmann *et al.*, 2015).

صفد مرواریدساز محار با نام علمی (*Pinctada radiata* Leach., 1814)، یکی از گونه های بسیار با ارزش اکولوژیکی و اقتصادی خلیج فارس است که حدود ۹۵٪ جمعیت صدف مرواریدساز در منطقه را تشکیل می دهد. به دلیل توانایی ترشح مروارید طبیعی و لایه مادر مروارید در پوسته و داشتن ارزش اقتصادی، این صدف مرواریدساز توجه زیادی را به خود جلب کرده است. پوسته صدف مرواریدساز حاوی ۹۵-۹۹ درصد کربنات کلسیم است که در دو لایه معدنی شده زیستی آرایش یافته است. پریسماتیک به عنوان لایه بیرونی، از کریستال های کلسیت پایدار ساخته شده و ناکرئوس به عنوان لایه داخلی، از کریستال های آرگونیت تشکیل شده است (Liu *et al.*, 2017). با قیمانده پوسته (۰-۵٪) از مواد آلی شامل لیپیدها، پلی ساکاریدها، گلیکوپروتئین ها و پروتئین های تنشکیل شده است. این توده آلی نقش مهمی در الگوی ساختاری و هسته گذاری کریستال های کربنات کلسیم ایفا می کند. فرض بر این است که فرآیند معدنی شدن زیستی، ساخت پوسته و مروارید را تحت کنترل دارد (Takeuchi and Endo., 2005; Liu *et al.*, 2012, 2017). پروتئین های ماتریکس پوسته مثل ناکرین در ساخت میکروساختار لایه های پوسته و مروارید و چند شکلی کریستال های کربنات کلسیم (کلسیت و آرگونیت) سهیم هستند. علی رغم مقدار بسیار کم این پروتئین ها، آنها نقش کلیدی در رشد و نمو پوسته دارند. ناکرین پروتئین ماتریکس پوسته با فعالیت اندیراز کربنیک دارای دومین تکراری Gly-Xaa-Asn که به کلسیم اتصال می یابد، در تشکیل کریستال های کربنات کلسیم لایه ناکرئوس شرکت داشته و به عنوان کاتالیزور در تشکیل یون  $\text{HCO}_3^-$  عمل می کند و به شدت در کریستاله شدن کربنات کلسیم فعالیت می کند (Miyamoto *et al.*, 2005; Yano *et al.*, 2007; Liu *et al.*, 2012).

تاکنون مطالعه ای در مورد اثر متقابل تغییرات دما، pH و آلاینده بر روی بیان ژن پروتئین ماتریکس پوسته صدف مرواریدساز محار انجام نشده است. اما با این وجود، مطالعاتی که صرفاً اثر استرس هایی مثل افزایش دما و یا کاهش pH را چه به صورت جداگانه و چه به صورت توأم بر روی بیان ژن انجام شده است در اینجا ذکر می شوند. Huning و همکاران (۲۰۱۳) اثر کاهش pH آب دریا بر روی روند بیان ژن پروتئین ماتریکس پوسته در ماسل *Mytilus edulis* دریای مدیترانه بررسی کردند. نتایج نشان داد که با کاهش pH آب، میزان بیان ژن کاهش می یابد. Liu و همکاران (۲۰۱۲) اثر هم زمان افزایش دما و کاهش pH آب دریا را بر روی بیان ژن پروتئین ماتریکس در صدف مرواریدساز *Pinctada fucuta* بررسی کردند و مشاهده کردند که این دو پارامتر اثر منفی بر روی میزان بیان ژن داشته است. Liu و همکاران (۲۰۱۷) اثر اسیدی شدن اقیانوس ها را بر روی رشد،

کلسیفیکاسیون پوسته و بیان ژن پروتئین ماتریکس در صدف مرواریدساز *Pinctada fucuta* مورد مطالعه قرار دادند. نتایج مطالعه آنها نشان داد که اسیدی شدن باعث کاهش در رشد، نرخ کلسیفیکاسیون پوسته و بیان ژن شده است. Parvizi و همکاران (۲۰۲۳) بیان تعدادی ژن‌های کلسیفیکاسیون کننده پوسته صدف مروارید ساز *Pinctada persica* را در دو فصل سرد و گرم مورد مطالعه قرار دادند و دریافتند که تعدادی از ژن‌ها در فصل سرد بیان بیشتری داشته و تعدادی از آنها مانند ناکرین در فصل گرم بیان بیشتری را نشان دادند.

بنابراین، هدف از مطالعه حاضر تشخیص الگوی بیان ژن ناکرین در صدف مرواریدساز محار تحت شرایط تغییرات دما، pH و فناوری به عنوان آلاینده مدل است (Hannam *et al.*, 2010). این ژن براساس نقش آن در فرآیند معدنی شدن زیستی در بافت جبهه انتخاب شده است. غلظت آلاینده از شرایط محیطی واقعی آب‌های خلیج فارس گرفته شده است (Aagh *et al.*, 2016). pH و دمای انتخاب شده مطابق با پژوهه‌های تغییر اقلیم (IPCC., 2014; Wong *et al.*, 2014) می‌باشد که انتظار می‌رود pH به طور متوسط به اندازه ۰/۵ واحد کاهش یابد و دما به طور متوسط چهار درجه سانتی‌گراد برای اقیانوس‌ها و دریاها سراسر جهان افزایش یابد. تحت شرایط استرس، تعديل و تنظیم بیان ژن بسیار حساس بوده و بازخوردی سریع برای حدود استرس-زا دارد (Liu *et al.*, 2012). بنابراین، ارزیابی الگوی بیان ژنی که مسئول فرایند کلسیمی شدن است، می‌تواند تکنیک مناسبی برای بررسی اثرات تغییرات اقلیمی بر روی جانداران دریایی در شرایط وقوع تغییر اقلیم باشد.

## روش کار

### جمع آوری و سازگاری دوکفه‌ای‌ها

تعداد ۳۶۰ قطعه صدف مرواریدساز محار که طی عملیات غواصی بوسیله دست از اطراف جزیره هندورابی جمع آوری شدند و به وسیله یونولیت به پژوهشکده میگویی کشور واقع در بوشهر منتقل گردیدند. منطقه هندورابی عاری از آلودگی نفتی است و بنابراین به عنوان منطقه تمیز و عاری از هر نوع آلودگی در نظر گرفته شد. به محض رسیدن به مدت دو هفته در شرایط محیطی (جدول ۱)، تصادفی در سه تانکر ۳۰۰ لیتری حاوی آب دریایی فیلتر شده و هوادهی شده به مدت دو هفته در شرایط محیطی (جدول ۱)، سازگار شدند. آب دریا قبل از وارد شدن به داخل مخزن با کربن فعال و فیلتر شنی، فیلتر گردید. صدف‌ها از نظر اندازه تقریباً هم اندازه بودند ( طول پوسته، میانگین  $\pm$  انحراف معیار،  $۴/۸ \pm ۰/۶$  سانتی‌گراد). در طی دوره سازگاری، صدف‌های مرواریدساز با جلبک تغليظ شده *Cheatocerous sp.* دوازده ساعت قبل از تعویض آب تغذیه شدند. همچنین، خصوصیات فیزیکی آب هر روز اندازه‌گیری و آب به صورت روزانه تعویض شد.

جدول ۱. مشخصات فیزیکی و شیمیایی آب دریا در دوره سازگاری در مطالعه حاضر

دما (درجه سانتی-گراد)	pH	شوری (PSU)	قلیاییت کل ( $\mu\text{mol}.\text{kg}^{-1}$ )	غلظت اکسیژن ( $\text{mg}.\text{l}^{-1}$ )	دوره نوری
۰ $\pm ۲۴/۵$	۸/۱	۲۵۲۱/۳۴ $\pm ۱/۵۲$	۴/۵ $\pm ۲/۱$	۴/۵ $\pm ۲/۱$	طبیعی

## طراحی آزمایش

دوره آزمایشی با هشت تیمار متفاوت با دو سطح pH، دو سطح دما و غلظت ثابت فنانترن و هر کدام با سه تکرار به مدت چهار هفته انجام شد. دو هفته اول معارضه به این دلیل است که حداقل زمان مورد نیاز برای سازگاری نرمتن با شرایط جدید در نظر گرفته می‌شود (Matoo *et al.*, 2013). مشخصات تیمارها در جدول ۲ ارائه شده است. برای این منظور تعداد پانزده عدد دو کفه‌ای در هر تانک بیست لیتری قرار گرفت.

جدول ۲. مشخصات تیمارهای مختلف در مطالعه حاضر

شماره تیمار	pH	دما(درجه سانتی گراد)	غلظت فنانترن (نانوگرم بر لیتر)	.
۱(کنترل)	۸/۱	۲۴		.
۲	۷/۶	۲۴		.
۳	۸/۱	۲۸		.
۴	۷/۶	۲۸		.
۵	۸/۱	۲۴		۸
۶	۸/۱	۲۸		۸
۷	۷/۶	۲۴		۸
۸	۷/۶	۲۸		۸

تغییر pH با استفاده از تزریق دی‌اکسیدکربن از طریق سنگ هوا به آب انجام شد، بدین صورت که به مدت ۲۴ ساعت گاز CO<sub>2</sub> خالص به آب دریایی فیلتر شده در داخل مخزن سربسته تزریق می‌شد تا به pH مورد نظر (۷/۶) برسد. تغییر دما با استفاده از بخاری‌های آکواریومی انجام شد. غلظت آلاینده بر اساس آیچه در آب‌های خلیج فارس در مطالعات قبلی اندازه‌گیری شده تعیین گردید (Mirza *et al.*, 2012, Agah *et al.*, 2016). مقدار مشخصی فنانترن در استون حل شد و محلول به دست آمده در دمای منفی ۲۰ درجه و در تاریکی نگهداری شد. غلظت مورد نظر فنانترن بر حسب نانوگرم بر لیتر در تانک‌ها از طریق رقیق کردن محلول به واسطه اضافه کردن آن به تانک‌های آزمایشی به دست آمد. برای نگهداری کیفیت و غلظت پایدار فنانترن، آب دریا از آب‌های ساحلی بوشهر پمپ می‌گردید و قبل از استفاده به وسیله فیلتر شنی و کربن فعال فیلتر می‌شد. آب آکواریوم‌ها هر ۲۴ ساعت یکبار تعویض می‌گردید. صدف‌های مرواریدساز در طی دوره آزمایش، روزانه یکبار با فیتوپلاتکتون تجاری حدود دوازده ساعت قبل از تعویض آب به اندازه ۳/۵ میلی‌لیتر در هر تانک تغذیه شدند. تغذیه صدف‌ها با استفاده از گونه جلبک *Cheatocerous sp.* به شکل تازه صورت گرفت. دما و pH، با فاصله زمانی ۲ ساعت، طی روز اندازه‌گیری و کنترل شده تا از عدم تغییر آن اطمینان حاصل شود. هر ۲۴ ساعت یکبار تانک‌ها برای مرگ و میر بصورت روزانه بررسی می‌گردید، به این صورت که در حالت عادی صدف جانور باز است اگر پاسخی از جانور دریافت نشود به عنوان مرده در نظر گرفته و از تانک خارج می‌گردد.

### نمونه‌برداری

نمونه‌برداری از جبه صدف مرواریدساز در انتهای ۲۴ ساعت اول، انتهای ۴۸ ساعت اول و انتهای روز بیست و هشتم انجام گرفت. در هر مرحله از نمونه‌برداری تعداد پنج صدف مرواریدساز به صورت تصادفی انتخاب شد، اندام جبه برای مطالعه بیان ژن، در ابتدا در داخل تیوب دو میلی‌لیتری قرار گرفته و دور آن را فویل آلومینیوم پیچیده و سپس در نیتروژن مایع قرار گرفته تا به سرعت منجمد شده و در نهایت به فریزر منفی ۸۰° منقل گردید.

### سنجهش میزان بیان ژن

در این مطالعه، استخراج RNA از نمونه‌ها، به وسیله محلول تراپیزول<sup>۱</sup> (TriPure Isolation Reagent, Roche, Sandhofer, Germany, Cat. No. 11667157001) طبق دستورالعمل انجام گرفت. پس از استخراج، کمیت و کیفیت RNA به ترتیب با استفاده از دستگاه نانودرایپ و الکتروفورز روی ژل ۱٪ بررسی گردید. در این دستگاه جذب نوری محلول RNA استخراج شده در طول موج ۲۶۰ به ۲۸۰ و ۲۶۰ به ۲۳۰ نانومتر قرائت شد. برای حذف DNA باقیمانده از محلول RNA استخراج شده، تیمار DNase با استفاده از کیت سیناکلون (SinaClon, Tehran, Iran, Cat. No. MO5401) طبق دستورالعمل انجام شد. تیمار cDNA با استفاده از کیت سیناکلون (SinaClon, Tehran, Iran, Cat. No. RT5201) طبق دستورالعمل کیت از روی نمونه-های RNA تیمارشده ساخته شد. در این پژوهش پرایمرهای ژن ناکرین از مطالعه Takeuchi و Endo (۲۰۰۵) و پرایمرهای ژن gapdh به عنوان ژن مرجع از مطالعه Liu و همکاران (۲۰۱۷) انتخاب شدند (جدول ۳).

جدول ۳. توالی پرایمرهای اختصاصی استفاده شده در مطالعه حاضر

مراجع	توالی پرایمر	کد شناسایی	نام پروتئین	نام ژن
Takeuchi and Endo, 2005	F: CCAGAGGATGGGGAAAATCT R: GCCTCCATAGGTGTGAAACG	BAA90540	nacrein	nacrein
Liu et al., 2017	F: TCTGCTGATGCTCCTATGTTG R: CGTTGATTATCTTGGCGAGTG	AB205404	gapdh	gapdh

جهت بررسی میزان بیان ژن ناکرین در صدف مرواریدساز محار از روش Real-time PCR استفاده شد. به منظور بررسی میزان بیان ژن از پرایمر اختصاصی فوق‌الذکر استفاده گردید. برای انجام واکنش Real-time PCR بر اساس دستور العمل کیت Amplicon RealQ 2x Master Mix Green, Denmark, Cat. No. A323402 (Amplicon RealQ 2x Master Mix Green, Denmark, Cat. No. A323402) (Roche Applied Science, Germany)LightCycler 96 thermal cycler °C برنامه دستگاه بدین ترتیب بود: ۱ چرخه در ۹۵° به مدت ۵ دقیقه، ۴۵ چرخه در ۹۵° C به مدت ۱۵ ۱ ثانیه، ۵۹° C درجه به مدت ۳۰ ۳۰ ثانیه و ۷۲° C به مدت ۶۰ ۶۰ ثانیه. آنالیز داده‌های Real time PCR براساس مقایسه چرخه آستانه انجام شد. در این مطالعه، اختلاف چرخه‌های آستانه به دست آمده از نمونه‌های مورد آزمایش (تیمار شده با آلاینده) و نمونه‌های کنترل (تیمار نشده با آلاینده) محاسبه و با استفاده از فرمول  $\Delta\Delta Ct$ ، نسبت ژن هدف به ژن مرجع gapdh از طریق  $2^{-\Delta\Delta Ct}$  محاسبه شد (Livak and Schmittgen., 2001). فرمول محاسبه آن به شرح زیر است:

<sup>۱</sup> Trizol

$$\Delta Ct = Ct_{\text{نمونه}} - Ct_{\text{نمونه مرجع}}$$

$$\Delta \Delta Ct = Ct_{\text{نمونه کنترل}} - Ct_{\text{نمونه تیمار شده}}$$

$$\text{میزان نسبی بیان } \Delta \Delta Ct = 2^{-\Delta \Delta Ct}$$

## آنالیز آماری

محاسبه آماری این مطالعه با استفاده از نرم افزار R studio version 1.3.1093 انجام گردید و نتایج توسط آنالیز واریانس چند طرفه (Multiway ANOVA) مورد آنالیز قرار گرفت. تفاوت بین گروههای آزمایشی با روش آماری Duncan محاسبه گردید. اطلاعات به صورت میانگین  $\pm$  انحراف معیار ( $\text{mean} \pm \text{SD}$ ) نمایش داده شده و  $p < 0.05$  در نظر گرفته شد. نمودارها با استفاده از نرم افزار Microsoft Excel 2016 ترسیم شد. برای تعیین وجود همبستگی بین داده‌ها نیز از آزمون همبستگی پیرسون استفاده شد.

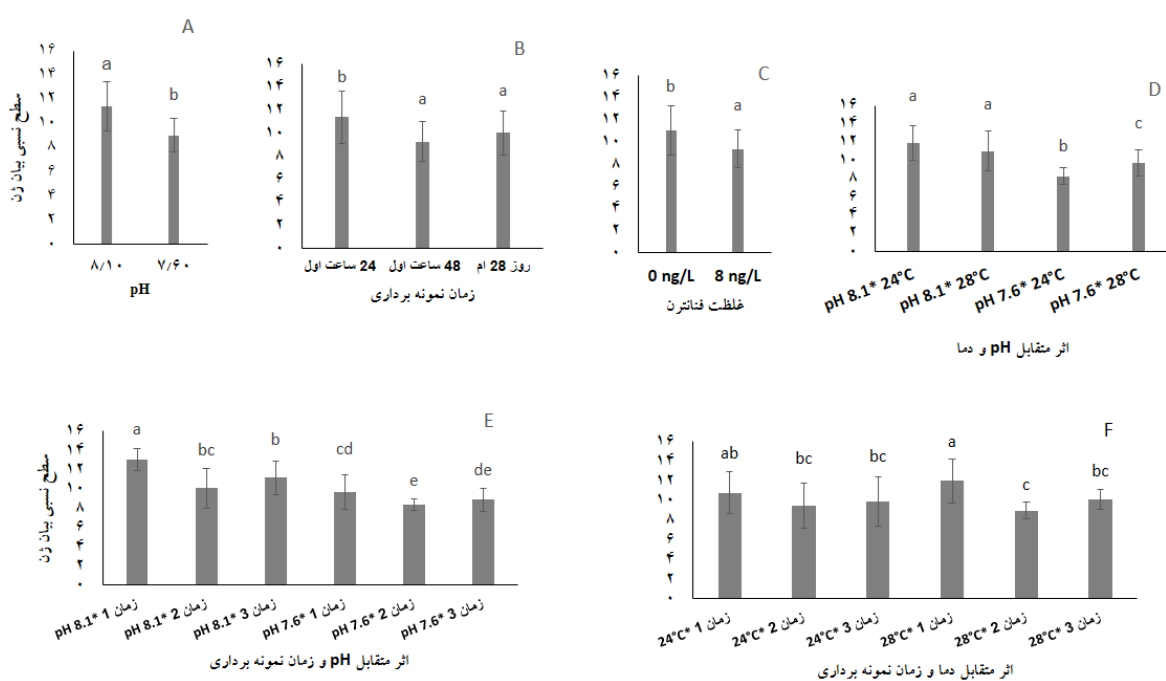
## نتایج

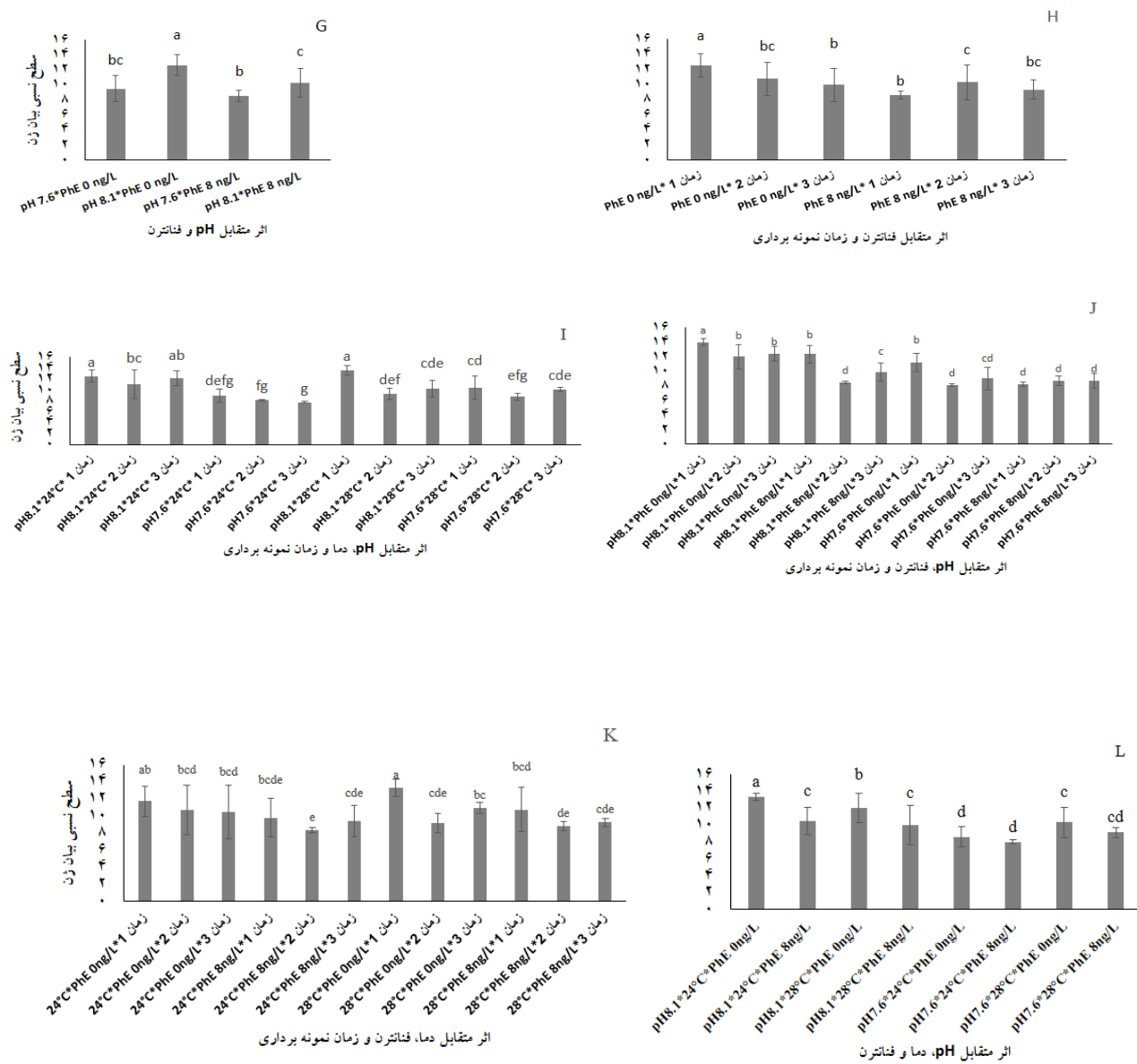
میزان بیان ژن ناکرین در بافت جبه صدف محار اختلاف معنی‌داری در عوامل استرس‌زا pH و فنانترن به صورت منفرد نشان داد (جدول ۴ و شکل‌های ۱-۱، C-A) با گذر زمان میزان بیان ژن در این بافت کاهش معنی‌داری داشته است (شکل B-۲) به طوری که ۲۴ ساعت اول با ۴۸ ساعت و ۲۸ روز اختلاف معنی‌داری نشان داد. آنالیز ANOVA چند طرفه نشان داد که در این بافت عوامل استرس‌زا اثر متقابل معنی‌داری بر روی بیان ژن ناکرین داشته است. به طوری که تقابل‌های دوگانه (جدول ۴ و شکل‌های ۱-D تا H-۱) و تقابل‌های سه‌گانه (جدول ۴ و شکل‌های I-L) بین pH، دما، زمان و آلائینده اثر کاهنده‌ای بر روی میزان بیان ژن در بافت جبه داشته‌اند. تقابل چهارگانه عوامل استرس‌زا اثر معنی‌داری نداشته است (جدول ۴).

جدول ۴. آنالیز واریانس میزان بیان ژن ناکرین در بافت جبه صدف محار

عامل استرس‌زا و اثر متقابل آنها	df	F	p value
pH	۱	۶۳۰/۸۵	۰/۰۰
دما	۱	۰/۳۴۷	۰/۵۵
زمان	۲	۱۶۲/۹۶	۰/۰۰
فنانترن	۱	۲۸۶/۷۶	۰/۰۰
*pH	۱	۱۴۲/۲۷	۰/۰۰
*زمان	۲	۲۴/۰۲	۰/۰۰
دما * زمان	۲	۲۶/۸۰	۰/۰۰

* فناتنرن * pH	۱	۵۶/۲۱	۰/۰۰
دما * فناتنرن	۱	۱/۵۵	۰/۲۱
زمان * فناتنرن	۲	۸/۲۰	۰/۰۰
دما * زمان * pH	۲	۳۳/۵۵	۰/۰۰
<b>عامل استرسزا و اثر متقابل آنها</b>		df	F
<b>pH * دما * فناتنرن</b>		۱	۱۳/۹۲
<b>زمان * دما * فناتنرن</b>		۲	۷۲/۰۵
<b>دما * زمان * فناتنرن</b>		۲	۲۱/۰۶
<b>دما * زمان * pH</b>		۲	۱/۶۲
			۰/۲



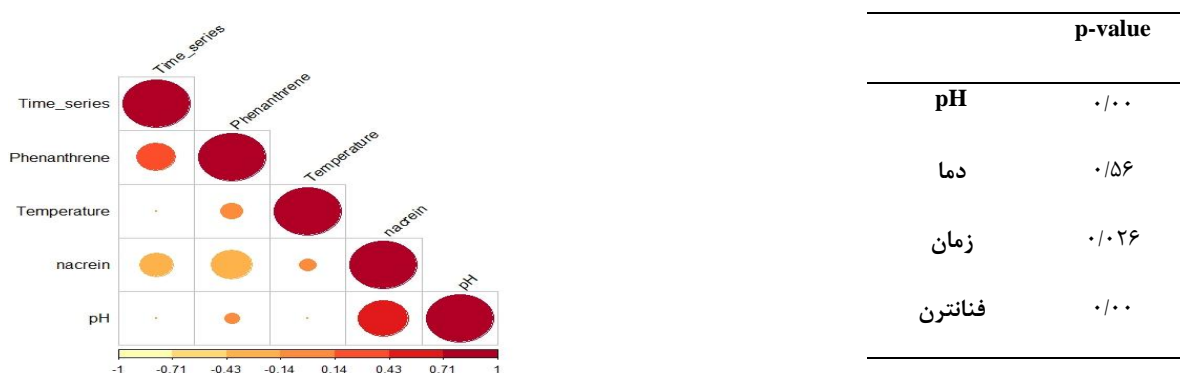


شکل ۱. میزان بیان ژن ناکرین در بافت جبه صدف محار در دو سطح pH (A)، میزان بیان ژن ناکرین در بافت جبه صدف محار در سه زمان نمونه برداری (B)، میزان بیان ژن ناکرین در بافت جبه صدف محار در دو سطح غلظت فناتنرن (C)، میزان بیان ژن ناکرین در بافت جبه در اثر متقابل دو سطح pH و دو سطح دمایی (D)، میزان بیان ژن ناکرین در بافت جبه صدف محار در اثر متقابل دو سطح pH و سه زمان نمونه برداری (E)، میزان بیان ژن ناکرین در بافت جبه صدف محار در اثر متقابل دو سطح pH و دو سطح فناتنرن (F)، میزان بیان ژن ناکرین در بافت جبه صدف محار در اثر متقابل دو سطح pH و سه زمان نمونه برداری (G)، میزان بیان ژن ناکرین در بافت جبه صدف محار در اثر متقابل دو سطح pH و سه زمان نمونه برداری (H)، میزان بیان ژن ناکرین در بافت جبه صدف محار در اثر متقابل دو سطح pH، دو سطح دمایی و سه زمان نمونه برداری (I)، میزان بیان ژن ناکرین در بافت جبه صدف محار در اثر متقابل دو سطح pH، دو سطح دمایی و سه زمان نمونه برداری (J)، میزان بیان ژن ناکرین در بافت جبه صدف محار در اثر متقابل دو سطح دمایی، دو سطح فناتنرن و سه زمان نمونه برداری (K)، میزان بیان ژن ناکرین در بافت جبه صدف محار در اثر متقابل دو سطح دمایی، دو سطح فناتنرن و سه زمان نمونه برداری (L). حروف متفاوت استفاده شده در نمودارها به معنای وجود اختلاف معنی دار بین عوامل استرس زا و اثرات متقابل آنها است.

## ارتباط بین پارامترهای محیطی و بیان ژن

میزان همبستگی بیان ژن پروتئین ماتریکس ناکرین در بافت جبه صدف محار با عوامل استرس‌زا در جدول ۵ و شکل ۲ نشان داده شده است. نتایج بیانگر این است که تنها متغیر دما است که ارتباط معنی‌داری با بیان ژن ناکرین نداشته است.

جدول ۵. میزان معنی‌داری ارتباط بین بیان ژن پروتئین ماتریکس ناکرین در بافت جبه با عوامل محیطی



شکل ۲. ارتباط بین بیان ژن پروتئین ماتریکس ناکرین در بافت جبه با عوامل محیطی

## بحث

سیستم‌های زنده انواع استراتژی‌های مختلف را برای پاسخ به چالش‌های داخلی و خارجی دارند. در حالی که این پاسخ‌ها اغلب رفتاری یا متابولیکی هستند، تعديل بیان ژن می‌تواند به طور گستردگی به عنوان مکانیسمی قدرتمند برای حفظ هموستازی سلولی تحت استرس بکار گرفته شود (Todgham and Hofmann., 2009). در مطالعه حاضر، تغییرات دما و pH به همراه آلاینده در گذر زمان که می‌توانند بر روی بیان ژن پروتئین ماتریکس ناکرین اثر داشته باشند بررسی شدند. تشکیل پوسته و مروارید در صدف محار نیازمند مقدار زیادی یون کلسیم و فرایند معدنی شدن شدن زیستی است که بر نقل و انتقال و کنترل یون‌های کلسیم شاره دارد (Chandra et al., 2021).

مطالعه حاضر نشان داد که pH، دما و آلاینده فاکتورهای محرك در تغییرات سطوح رونویسی mRNA برای ناکرین بودند. سطح بیان ناکرین با توجه به پارامترهای محیطی چه به صورت منفرد و چه به شکل متقابل، به طور معنی‌داری متفاوت بوده است و نسبت به شرایط نرمال حالت کاهشی داشته است. با گذر زمان میزان بیان ژن ناکرین کاهش داشته است، بهطوری که در نوبت دوم نمونه‌برداری (۴۸ ساعت اول) کاهش معنی‌داری نسبت به نوبت اول نمونه‌برداری (۲۴ ساعت اول) دیده شد و با گذر زمان تا روز بیست و هشت-افزایش غیرمعنی‌داری نسبت به نوبت دوم دیده شده است که این احتمالاً به دلیل سازگاری صدف محار با شرایط جدید است. نتایج آنالیز همبستگی می‌تواند تاییدی بر اثربخشی بر بیان ژن ناکرین در شرایط جدید اقلیمی در حضور آلاینده است. اثرات منفی pH پایین بر روی سطوح بیان ژن، همچنین ممکن است در کاهش نرخ کلسیفیکه شدن پوسته و فقدان یکپارچگی ساختاری پوسته مشارکت داشته باشد. صرفنظر از مکانیسم‌های درگیر، خصوصیات مکانیکی به خطر افتاده پوسته ناشی از معارضه با pH پایین آب دریا، احتمالاً صدف مروارید ساز را نسبت به شکارچیان و انگل‌ها حساس می‌کند (Liu et al., 2017; Knights et al., 2020).

فنا遁ن به عنوان نماینده PAHs اثر کاهشی بر بیان ژن داشته است. PAHs در محیط سلول منجر به تولید واسطه های ROS (گونه اکسیژن فعال) می شوند که میل ترکیبی شدیدی به گوانیدین DNA دارند و احتمالاً همین امر باعث کاهش رونویسی mRNA در هسته سلول شده (Sarkar *et al.*, 2018) و همبستگی معنی دار بین سطح بیان ژن ناکرین و غلظت فنا遁ن موكد اين مطلب است. از اين گذشته، شرایط اسیدی شدن و گرمایش آب اقیانوس ها نیز باعث تولید واسطه های ROS در دو كفه ای ها می شود (Coppola *et al.*, 2018; Ullah *et al.*, 2021). در جدول ۴ مشاهده می شود که بیشترین تاثیر بر روی بیان ژن را فنا遁ن بصورت منفرد داشته است. در اثرات متقابل دو و سه گانه اثر کاهشی میزان بیان ژن دیده شد که می توان گفت عوامل مورد بررسی اثر سینتریکی دارند، به خصوص زمانی که کاهش pH، افزایش غلظت فنا遁ن و زمان دوم و سوم نمونه برداری همراه هم باشند. در نهایت به نظر می رسد که رونویسی این ژن پاسخ های متفاوتی به شرایط محیطی متفاوت می دهد. تنظیم رو به پایین ژن کلسیفیک کننده ناکرین در صدف مروارید ساز *Pinctada fucata* می کاهش pH و افزایش دما باعث تنظیم رو به پایین ژن کلسیفیک کننده ناکرین در سطوح زمانی (۲۰۱۲) منطبق است که دریافتند شود. در مقابل این نتایج، مطالعه دیگری نشان داد که با کاهش pH افزایش جبرانی در سطوح رونویسی ژن های کلسیفیک-Zippay (*Martin et al.*, 2009) مشاهده شده است (Zippay, *Paracentrotus lividus*). در لارو سه روزه توئیای دریای مدیترانه Hofmann (۲۰۱۰) نشان دادند که تغییر در عوامل محیطی ذکر شده، اثری بر روی الگوی بیان ژن های پروتئین ماتریکس لارو آبالون نداشته است. این اختلافات در نتایج پشنهد می کند که پاسخ ها ممکن است به دلیل ظرفیت سازگاری گونه ها به شرایط تغییرات اقلیم باشد که بین جمعیت های با پراکنش جغرافیایی بزرگ متفاوت است.

کاهش در سطح بیان ژن ناکرین ممکن است با کاهش نرخ کلسیفیک شدن در ارتباط باشد. حساسیت بالای این ژن به تغییر عوامل محیطی می تواند به دلیل ار تباط منفی بین افزایش فشار CO<sub>2</sub> و کلسیفیکاسیون در دو كفه ای های دریایی باشد (Berge *et al.*, 2006). اگر درجه حرارت بالا و pH کاهش یافته برای مدت طولانی تر ادامه یابد، این تغییرات می تواند اثری آبشاری بر روی رشد پوسته و تشکیل مروارید ایجاد کند. با توجه به تنظیم پایین ژن کلسیفیک کننده مشاهده شده در این مطالعه، ممکن است که اختلالات در تعادل بین تولید هماهنگ ماتریکس آلی و معدنی می تواند بر ترکیب و خصوصیات مکانیکی پوسته و مروارید اثر داشته باشد. این در آینده می تواند باعث تولید مروارید با کیفیت پایین شود. پروتئین های ماتریکس پوسته و مروارید اثر داشته باشد. علاوه بر آینه، تولید بخش آلی پوسته هزینه انرژی بسیاری دارد و همین امر باعث می شود تحت شرایط استرسی بیان ژن پروتئین ماتریکس پوسته کاهش یابد و در واقع اولین قربانی برای حفظ نگهداری هموستازی بدن جاندار باشد (Suzuki *et al.*, 2009; Van Colen *et al.*, 2018; Knights *et al.*, 2020). بعضی پروتئین ها مثل ناکرین در سنتر Tsukamoto *et al.*, 2004; Samata *et al.*, 1999) لایه های پریسماتیک و ناکروئوس صدف مروارید ساز دخیل هستند (Miyamoto *et al.*, 2005). ناکرین فعالیت کربنیک انیدرازی دارد و یون های کربنات را برای پوسته فراهم می کند (Miyamoto *et al.*, 2005). کاهش در متابولیسم ممکن است کاهشی در نرخ کلسیفیک شدن و تغییراتی در میکروساختارها را به دنبال داشته باشد. بنابراین، علاوه بر ارزیابی رشد پوسته و میکروساختارها، تغییرات در سطح مولکولی در صدف مروارید ساز که تحت شرایط مختلف pH باشد، می بايست بررسی شود.

به طور کلی، به نظر می رسد کاهش pH و افزایش دمای آب دریا در حضور فنا遁ن منجر به تنظیم معنی دار و رو به پایین بیان ژن کلسیفیک کننده ناکرین در صدف مروارید ساز محار می شود. بنابراین، یافته های این مطالعه می تواند اطلاعات بسیار بالرژی را در مورد مکانیسم مولکولی پایه صدف مروارید ساز در خلیج فارس، تحت شرایط تغییرات دما و pH در حضور آلاینده فراهم کند. مطالعات آزمایشگاهی و میدانی بلندمدت بر روی سازگاری صدف محار به شرایط تغییر دما و pH و آلاینده و تاثیر این عوامل بر بیان ژن های مختلف پروتئین ماتریکس پوسته بايستی انجام شود تا اطلاعات جامع و کامل تری به دست آید.

## مراجع

- Aagh, H., Rahmanpour, S., Abedi, E., Arebi, I., Mahdinia, A. 2016. Contamination of polycyclic aromatic hydrocarbons in seawater and sediments of West-Northern coasts of the Persian Gulf. Indian Journal of Marine Sciences. 45(12):1688–1695.
- Akhbarizadeh, R., Moore, F., Keshavarzi, B. 2019. Polycyclic aromatic hydrocarbons and potentially toxic elements in seafood from the Persian Gulf: presence , trophic transfer , and chronic intake risk assessment. Environmental Geochemistry Health. Dio.org/10.1007/s10653-019-00343-1.
- Berge, J.A., Bjerkeng, B., Pettersen, O., Schanning, M.T., Oxnevad, S. 2006. Effects of increased sea water concentrations of CO<sub>2</sub> on growth of the bivalve *Mytilus edulis* L. Chemosphere. 62:681-687.
- Chan, K.Y.K., García, E., Dupont, S., 2015. Acidification reduced growth rate but not swimming speeds of larval sea urchins. Scientific Reports. 5, 9764.
- Chandra, K., Yuan, R., Ziniu, M., Steven, Y., Vengatesen, T. 2021. Oyster biomineralization under ocean acidification : From genes to shell. Global Change Biology, 3779–3797.
- Coppola, F., Almeida, Â., Henriques, B., Soares, A. M. V. M. 2018. Biochemical responses and accumulation patterns of *Mytilus galloprovincialis* exposed to thermal stress and Arsenic contamination. Ecotoxicology and Environmental Safety 147: 954–962.
- Hannam, M.L., Bamber, S.D., Galloway, T.S., John Moody, A., Jones, M.B. 2010. Effects of the model PAH phenanthrene on immune function and oxidative stress in the haemolymph of the temperate scallop *Pecten maximus*. Chemosphere. 78 (7):779–784.
- Holcomb, M., Venn, A.A., Tambutté, E., Tambutté, S., Allemand, D., Trotter, J., McCulloch, M. 2014. Coral calcifying fluid pH dictates response to ocean acidification. Scientific Reports. 4, 5207.
- Hüning, A. K., Melzner, F., Thomsen, J., Gutowska, M. A., Krämer, L., Frickenhaus, S., Rosenstiel, P., Pörtner, H. O., Philipp, E. E. R., Lucassen, M. 2013. Impacts of Seawater Acidification on Mantle Gene Expression Patterns of the Baltic Sea Blue Mussel: Implications for Shell Formation and Energy Metabolism. Marine Biology. 160(8):1845–61.
- IPCC. 2014. Climate change 2014:impacts,adaptation,and vulnerablity.In: Contribution of Working Group II to the Fifth Assessment Report of the Intergovernmental Panel on Climate Change. Cambridge University Press, Cambridge,United Kingdom and New York, NY, USA. pp. 1820.
- Knights, A. M., Norton, M. J., Lemasson, A. J., Stephen, N., Harvey, B. P. 2020. Ocean Acidification Mitigates the Negative Effects of Increased Sea Temperatures on the Biomineralization and Crystalline Ultrastructure of *Mytilus*. Frontiers in Marine Science. 7:1–13.
- Liu, W., Huang, X., Lin, J., He, M. 2012. Seawater acidification and elevated temperature affect gene expression patterns of the pearl oyster *Pinctada fucata*. PLoS ONE. 7(3): 33679.
- Liu, W., Yu, Z., Huang, X., Shi, Y., Lin, J., Zhang, H., Yi, X., He, M. 2017. Effect of ocean acidification on growth, calcification, and gene expression in the pearl oyster, *Pinctada fucata*. Marine Environmental Research.
- Livak, K. J., Schmittgen T. D. 2001. Analysis of Relative Gene Expression Data Using Real-Time Quantitative PCR and the 2<sup>-ΔΔCT</sup> Method. Methods 25(4):402–8.
- Martin, S.E., Gattuso, J.P. 2009. Response of Mediterranean coralline algae to ocean acidification and elevated temperature. Global Change Biology. 15: 2089–2100.
- Matoo, O.B., Ivanina, A.V., Ullstad, C., Beniash, E., Sokolova, I.M. 2013. Interactive effects of elevated temperature and CO<sub>2</sub> levels on metabolism and oxidative stress in two common marine bivalves (*Crassostrea virginica* and *Mercenaria mercenaria*). Comparative Biochemistry and Physiology, Part A, 164: 545–553.
- Mirza, R., Faghiri, I., Abedi, E. 2012. Contamination of polycyclic aromatic hydrocarbons in surface sediments of Khure-Musa Estuarine, Persian Gulf. World Journal of Fish and Marine Sciences. 4(2): 136-141.
- Miyamoto, H., Miyoshi, F., Kohno, J. 2005. The carbonic anhydrase domain protein nacrein is expressed in the epithelial cells of the mantle and acts as a negative regulator in calcification in the mollusc *Pinctada fucata*. Zoological Science. 22: 311-315.

- Nardi, A., Mincarelli, L.F., Benedetti, M., Fattorini, D., d'Errico, G., Regoli, F. 2017. Indirect effects of climate changes on cadmium bioavailability and biological effects in the Mediterranean mussel *Mytilus galloprovincialis*. *Chemosphere* 169:493–502.
- Parvizi, F., Akbarzadeh, A., Farhadi, A., Arnaud-Haond, S., Ranjbar, M.Sh. 2023. Expression pattern of genes involved in biomineralization in black and orang mantle tissues of pearl oyster, *Pinctada persica*. *Frontiers in Marine Science* 9:1038692.
- Samata, T., Hayashi, N., Kono, M., Hasegawa, K., Horita, C., Akera, S. 1999. A new matrix protein family related to the nacreous layer formation of *Pinctada fucata*. *Federation of European Biochemical Societies Letters*. 462: 225-229.
- Sampaio, E., Lopes, A.R., Francisco, S., Paula, J.R., Pimentel, M., Maulvault A, L., Repolho, T., Grilo, T. F., Pousao-Ferreira, P., Marques, A., Rosa, R. 2017. Ocean acidification dampens warming and contamination effects on the physiological stress response of a commercially important fish. *Biogeosciences*. 1-27. <https://doi.org/10.5194/bg-2017-147>.
- Suzuki, M., Saruwatari, K., Kogure, T., Yamamoto, Y., Nishimura, T. 2009. An Acidic Matrix Protein, Pif, Is a Key Macromolecule for Nacre Formation. *Science*. 325, 1388.
- Takeuchi, T., Endo, K. 2005. Biphasic and Dually Coordinated Expression of the Genes Encoding Major Shell Matrix Proteins in the Pearl Oyster *Pinctada fucata*. *Marine Biotechnology*. 8: 52-61.
- Todgham, A.E., Hofmann, G.E. 2009. Transcriptomic response of sea urchin larvae *Stroylocentrotus purpuratus* to CO<sub>2</sub>-driven seawater acidification. *Journal of Experimental Biology*. 212: 2579–2594.
- Tsukamoto, D., Sarashina, I., Endo, K. 2004. Structure and expression of an unusually acidic matrix protein of pearl oyster shells. *Biochemical and Biophysical Research Communications*. 320:1175-1180.
- Ullah, F., Chen, H., Gu, H., Wang, T., Dupont, S., Kong, H., Shang, Y., Wang, X., Lu, W., Hu, M., Wang, Y. 2021. Antioxidant responses of the mussel *Mytilus coruscus* co-exposed to ocean acidification , hypoxia and warming. *Marine Pollution Bulletin*. 162: 111869.
- Van Colen, C., Jansson, A., Saunier, A., Lacoue-Labat, T., Vincx, M. 2018. Biogeographic Vulnerability to Ocean Acidification and Warming in a Marine Bivalve. *Marine Pollution Bulletin*. 126:308–11.
- Wang, X.D., Wang, M.Q., Jia, Z.H., Wang, H., Jiang, S., Chen, H., Wang, L.L., Song, L.S. 2016. Ocean acidification stimulates alkali signal pathway: A bicarbonate sensing soluble adenylyl cyclase from oyster *Crassostrea gigas* mediates physiological changes induced by CO<sub>2</sub> exposure. *Aquatic Toxicology*. 181:124-135.
- Yano, M., Nagai, K., Morimoto, K., Miyamoto, H. 2007. A novel nacre protein N19in the pearl oyster *Pinctada fucata*. *Biochemical and Biophysical Research Communications*. 362(1): 158-163.
- Zippay, M., Hofmann, G.E. 2010. Effect of pH on gene expression and thermal tolerance of early life history stages of red abalone (*Haliotis Rufescens*). *Journal of Shellfish Research*. 29: 429–439.



## Interactive effects of temperature, pH and phenanthrene on matrix protein nacrein gene expression in Persian Gulf pearl oyster *Pinctada radiata*

Fatemeh Jafari<sup>1</sup>, Akram Sadat Naeemi<sup>\*1</sup>, Mohammad Mahdi Sohani<sup>2</sup>, Mohsen Noorinezhad<sup>3</sup>

1. Department of Biology, Faculty of Sciences, University of Guilan, Rasht, Iran

2. Department of Plant Biotechnology, Faculty of Agricultural Sciences, University of Guilan, Rasht, Iran

3. Department of Ecology, Shrimp Research Center, Iranian Fisheries Sciences Research Institute, Bushehr, Iran

### Abstract

In the present study, the interaction effect of climate change accomplished by phenanthrene as a representative of contaminants was investigated on the expression of nacrein gene in the mantle tissue of *Pinctada radiata*. To determine the studied gene expression pattern changes, pearl oysters were exposed to isolated/ combined warming in two levels (24 and 28 °C), acidification in two levels (8.1 and 7.6) and phenanthrene concentration in two levels (0 and 8 ng/L) for 4 weeks. Experimental setup was arranged in eight exposure treatments with triplicate aquaria per treatment and each aquaria containing 15 animals in 20 L. Sampling was performed three times, i.e., 24 h 48 h and 28 days after exposure. After 28 days of exposure, although no mortalities were observed in any treatments, the studied parameters caused significant reduction of nacrein expression in isolated exposure except for temperature, double interactions except for temperature and phenanthrene combination, and triple interaction. The quadruple interaction showed no significant effect on nacrein gene expression. These results demonstrated that the decreased seawater pH and elevated temperature in presence of contaminants caused downregulation of the nacrein gene and might impact the quality of pearl and shell of pearl oyster, *P. radiata*.

---

**ARTICLE TYPE**  
**Research**

---

Received: 18 August 2021

Accepted: 5 October 2021

ePublished: 8 February 2023

\* Corresponding Author:  
[akramnaeemi@yahoo.com](mailto:akramnaeemi@yahoo.com)

---

**Keywords:** Climate changes, Gene Expression, *Pinctada radiata*, Persian Gulf, Polycyclic Aromatic Hydrocarbons